

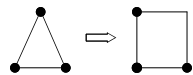
Algoritmi per la visualizzazione

Prof.ssa Tiziana Calamoneri
DISEGNO DI GRAFI:
ALCUNI CASI PARTICOLARI

Disegno 2D ortogonale

Disegno ortogonale 2D (1)

- Punto di vista umano: primo criterio per giudicare la qualità di una visualizzazione: **leggibilità**
- Punto di vista algoritmico: catturare la qualità tramite funzioni obiettivo:
 - evitare  \Rightarrow massimizzare il min angolo (**risoluzione angolare**)
 - caso particolare: tutti gli angoli sono multipli di $\pi/2$ (**disegno ortogonale**) ma diventa inevitabile ricorrere alle **svolte** \Rightarrow minimizzare il numero di svolte



Disegno ortogonale 2D (2)

Il problema è complesso... un esempio:

- minimizzare il # di svolte è NP-arduo [Forman et al. '90]
 - punto cruciale della riduzione: trovare l'esatto ordinamento degli archi intorno ai nodi
- se una rappresentazione è fissata: polinomiale

Disegno ortogonale 2D (3)

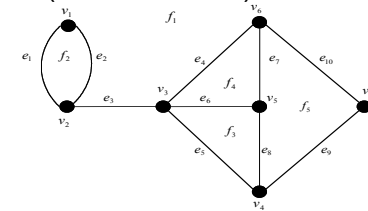
DEF. Un *disegno ortogonale su griglia* di un grafo $G=(V,E)$ è una funzione biunivoca che mappa vertici $v \in V$ in punti a coordinate intere $I(v)$ ed archi $(v,w) \in E$ in cammini che non si sovrappongono tali che le immagini dei loro estremi $I(v)$ e $I(w)$ siano connesse dai cammini corrispondenti. Tali cammini sono costituiti da segmenti orizzontali o verticali con le eventuali svolte a coordinate intere.

Possibile visualizzare solo grafi con grado ≤ 4 !

Codifiche di rappresentazioni di grafi (1)

- Codifica di un **grafo**: elenco dei nodi+elenco degli archi
- Codifica di una **rappresentazione piana di un grafo**: elenco dei nodi+elenco degli archi+elenco delle facce+verso di percorrenza (convenzionale)

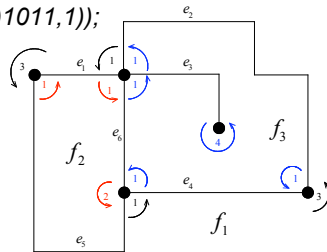
$F = \{f_1, \dots, f_5\};$
 $P(f_1) = (e_1, e_3, e_5, e_9, e_{10}, e_4, e_3, e_2);$
 $P(f_2) = (e_2, e_1);$
 $P(f_3) = (e_5, e_6, e_8);$
 $P(f_4) = (e_6, e_4, e_7);$
 $P(f_5) = (e_8, e_7, e_{10}, e_9);$



Codifiche di rappresentazioni di grafi (2)

- Codifica di una **rappresentazione ortogonale di un grafo**: elenco dei nodi+elenco degli archi+elenco delle facce+info sulla direzione di partenza degli archi+info sulle svolte

$F = \{f_1, \dots, f_3\};$
 $H(f_1) = ((e_1, \varepsilon, 3), (e_5, 11, 1), (e_4, \varepsilon, 3), (e_2)1011, 1));$
 $H(f_2) = ((e_1, \varepsilon, 1), (e_6, \varepsilon, 2), (e_5, 00, 1));$
 $H(f_3) = ((e_2, 0010, 1), (e_4, \varepsilon, 1), (e_6, \varepsilon, 1), (e_3, 0, 4), (e_3, 1, 1));$



Codifiche di rappresentazioni di grafi (3)

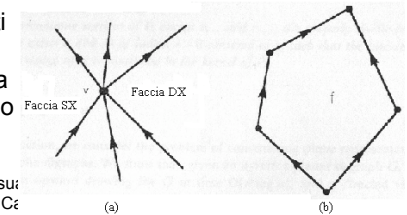
- regole di consistenza:**
 - deve esistere un grafo 4-planare a cui la rappresentazione si riferisce;
 - ogni arco deve essere memorizzato due volte, una per ciascuna faccia a cui appartiene, e le due memorizzazioni devono essere consistenti;
 - la somma degli angoli lungo il perimetro di una faccia deve essere consistente col fatto che la faccia sia un poligono chiuso;
 - per ogni vertice, la somma degli angoli che insistono su quel vertice deve essere 4.
- N.B. non si parla di lunghezza di archi! si può calcolare la rapp. su griglia di area minima [Tamassia '87]

st-grafi

Un algoritmo basato sulla rappresentazione di visibilità

DEF. Un *st*-grafo $G=(V,E)$ è un grafo diretto aciclico che gode delle seguenti proprietà:

- 1. ogni vertice $v \in V$ è su un cammino da s a t ;
- 2. per ogni vertice $v \in V$, gli archi entranti appaiono consecutivamente intorno a v , e così gli archi uscenti; in questo modo è sempre possibile distinguere in maniera univoca due facce distinte, quella a sinistra di v (tra il primo arco entrante e il primo arco uscente) e quella a destra di v (tra l'ultimo arco entrante e l'ultimo arco uscente);
- *3. per ogni faccia f di G , i confini di f sono delimitati da due cammini distinti con origine e destinazione comune
- *4. tutti i cammini sono orientati da s a t , ossia G ammette sempre un disegno upward.

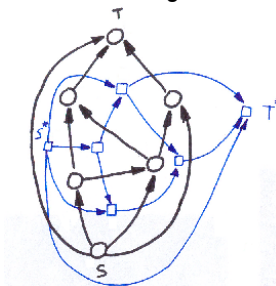


Algoritmi per la Visu:
Prof.ssa Tiziana Ci

Un algoritmo basato sulla rappresentazione di visibilità (1)

DEF. Il *duale* G^* di un grafo orientato G è il grafo orientato così definito:

- 1. i vertici di G^* sono le facce di G , dove s^* e t^* sono rispettivamente la faccia a destra dell' arco (s, t) e la faccia esterna;
- 2. un arco (f,g) è in G^* se la faccia f condivide con la faccia g un arco $(v,w) \neq (s, t)$;
- 3. l'arco (f,g) è orientato da f verso g se f si trova a sinistra dell' arco orientato (v,w) ;
- 4. G^* contiene l'arco (s^*, t^*) .

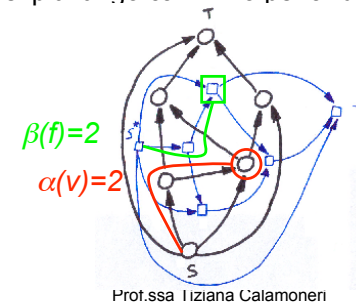


N.B. il duale di un grafo planare è ancora planare, ed è mantenuto l'orientamento (upward \rightarrow rightward e downward \rightarrow leftward).

Algoritmi per la Visualizzazione
Prof.ssa Tiziana Calamoneri

Un algoritmo basato sulla rappresentazione di visibilità (2)

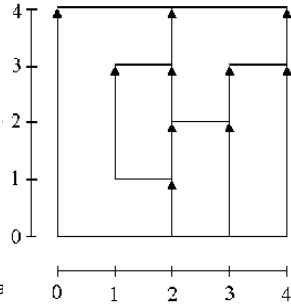
- Dato un qualunque vertice v di G , il valore $\alpha(v)$ è definito come la lunghezza del più lungo cammino per andare da s a v .
- Per ogni vertice f di G^* il valore $\beta(f)$ è definito come la lunghezza del più lungo cammino per andare da s^* a f .



Prof.ssa Tiziana Calamoneri

Un algoritmo basato sulla rappresentazione di visibilità (3)

DEF. [Ottien & van Wijk '78]: La *rappresentazione di visibilità* $I(G)$ di un grafo $G=(V,E)$ è una sua rappresentazione che disegna ogni vertice $v \in V$ come un segmento orizzontale $I(v)$, ed ogni arco $(v,w) \in E$ come un segmento verticale le cui estremità giacciono su $I(v)$ e $I(w)$ e non interseca nessun altro segmento vertice $I(u)$ con $u \neq v,w$. Inoltre, ne' i segmenti orizzontali ne' i segmenti verticali si sovrappongono

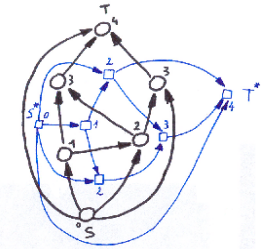


Algoritmi per la Visualizza
Prof.ssa Tiziana Calamoneri

Un algoritmo basato sulla rappresentazione di visibilità (4)

TH. [Rosenthal & Tarjan '86] Sia G un st -grafo planare con n vertici. Allora esiste una rappresentazione di visibilità $I(G)$ per G tale che $I(G)$ ha esattamente una sorgente $I(s)$ ed esattamente un pozzo $I(t)$.

DIM. Costruttiva. Algoritmo che determini un rapp. di visibilità di G :
Input: st -grafo planare G
Output: Una rappresentazione di visibilità del grafo G .
 1. costruisci il grafo duale G^* di G ;
 2. calcola, per ogni v di G il valore $\alpha(v)$;
 3. calcola, per ogni vertice f di G^* il valore $\beta(f)$;

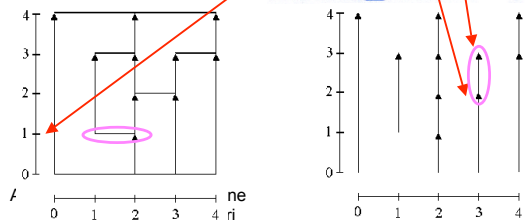
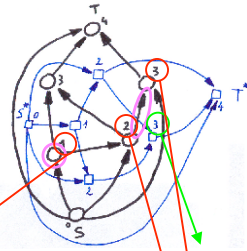


Algoritmi per la Visualizzazione
Prof.ssa Tiziana Calamoneri

Un algoritmo basato sulla rappresentazione di visibilità (5)

(segue DIM.)

4. per ogni arco (u,v) di G do
 disegna un segmento verticale con ascissa $x(u,v) = \beta(\text{Right}(u,v))$ tra le ordinate $\alpha(u)$ e $\alpha(v)$;
5. per ogni vertice v do
 disegna un segmento orizzontale con ordinata $y(v) = \alpha(v)$
 tra le ascisse più a sinistra e più a destra dei segmenti verticali associati agli archi incidenti su v .



f
0 1 2 3 4 ne
ni

Un algoritmo basato sulla rappresentazione di visibilità (6)

TH. Sia G un st -grafo planare con n vertici ed f facce. L'area della sua rappresentazione di visibilità $I(G)$ è al più $(n-1) \times (2n-5)$.

DIM. La larghezza e l'altezza di $I(G)$ sono limitate dal max valore di $\alpha(v)$ e $\beta(f)$. Il caso peggiore per entrambi è quando il grafo è un cammino $\Rightarrow A \leq (n-1) \times (f-1)$.

Per dim. che $f-1 \leq 2n-5$:

Def. grafo planare massimale: non è possibile aggiungere archi senza perdere la planarità \Rightarrow grafo triangolato $\Rightarrow 3f=2m$.

Per grafi planari qualunque: $3f \leq 2m$ + formula di Eulero:

$$n-m+f=2$$

$$2n-2m+2f=4 \Rightarrow 2n-3f+2f \leq 4 \Rightarrow 2n-4 \leq f \Rightarrow f-1 \leq 2n-5$$

CVD

Algoritmi per la Visualizzazione
Prof.ssa Tiziana Calamoneri

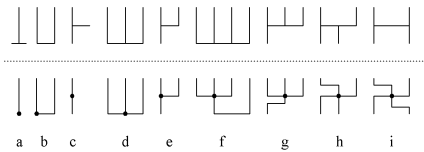
Un algoritmo basato sulla rappresentazione di visibilità (7)

Algoritmo:

INPUT: un st-grafo planare

OUTPUT: un disegno ortogonale su griglia piano

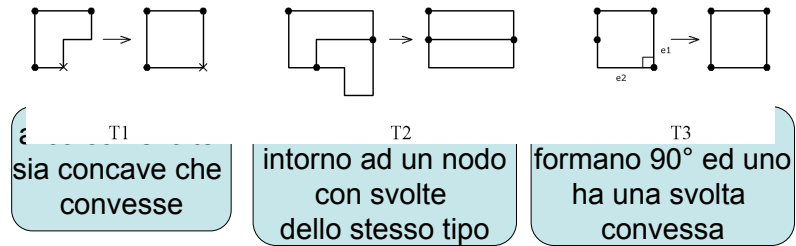
1. creazione rappr. di visibilità (tempo $O(n)$)
2. creazione disegno ortogonale su griglia piano (tempo $O(n)$)



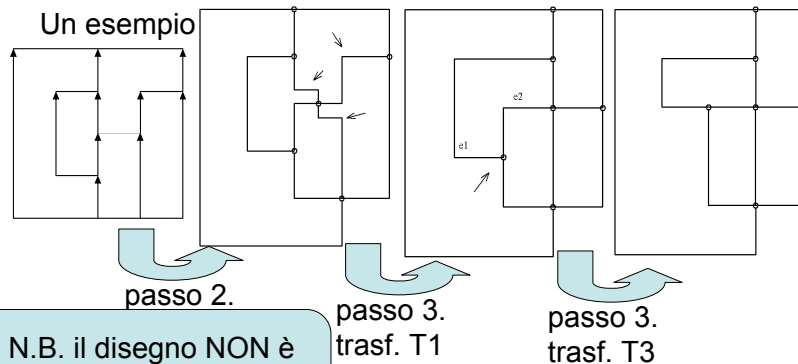
Un algoritmo basato sulla rappresentazione di visibilità (8)

... segue Algoritmo

3. riduzione delle svolte (tempo $O(n)$)



Un algoritmo basato sulla rappresentazione di visibilità (9)



N.B. il disegno NON è ottimo, ne' in termini di area ne' di num. di svolte!

Un algoritmo basato sulla rappresentazione di visibilità (10)

TH. Dato un st-grafo G , l'algoritmo precedente ne calcola un disegno ortogonale su griglia piano con $O(n^2)$ area in $O(n)$ tempo.

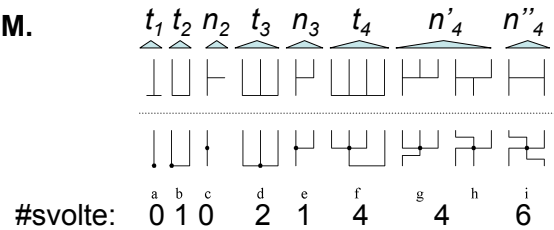
Attenzione: se il grafo non è 2-connesso, lo possiamo partizionare nelle sue componenti 2-connesse, costruire le rappresentazioni, e poi riconnetterle in modo che il grafo finale abbia una sola sorgente e t pozzi. $O(n)$ tempo

numero di svolte?

Un algoritmo basato sulla rappresentazione di visibilità (11)

TH. Se la rappr. di visibilità ha t_i pozzi ed n_i nodi non sorg. di grado $i=2,3,4$, allora il numero di svolte del disegno è al più $n_3+2n_4+t_2+4t_4+\delta$, dove $\delta=0,1,2,4$, a seconda che la sorgente abbia grado 1, 2, 3, 4.

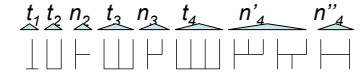
DIM.



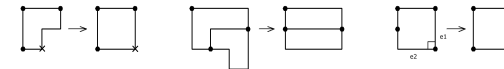
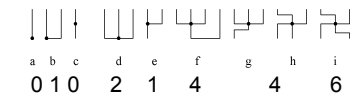
Un algoritmo basato sulla st-numerazione

Un algoritmo basato sulla rappresentazione di visibilità (12)

...segue dim.



Dopo il passo 2. il # di svolte è $t_2+2t_3+n_3+4n'_4+6n''_4+4t_4+\delta$



T1 applicata 1 volta
a g e ad h e
2 volte ad i

T2

T3

elimino almeno $n'_4+2n''_4$ svolte. **CVD**

st-numerazione (1)

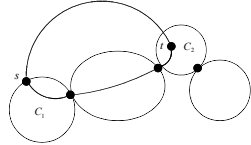
- **Def.** dato G 2-connesso, una **st-numerazione** di G è un'etichettatura dei nodi con $1, 2, \dots, n$ tale che ogni nodo etichettato j ($2 \leq j \leq n-1$) abbia almeno un vicino etichettato $i < j$ ed almeno un vicino etichettato con $k > j$. I nodi etichettati con 1 ed n sono collegati.
- E' immediato indurre un verso agli archi dalle etichette minori a quelle maggiori.
- Il grafo risultante, con un'unica sorgente (1) ed un unico pozzo (n) è un st-grafo.

st-numerazione (2)

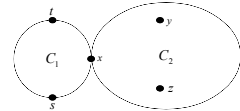
TH. (Even & Tarjan '76) Sia G un grafo 2-connesso, s e t due suoi nodi adiacenti. Allora, esiste una st-numerazione di G che etichetta s con 1 e t con n , che si può determinare in $O(n)$ tempo.

Prima di dimostrare il th. osserviamo che se G non è 2-connesso, non è possibile trovare una st-numerazione.

Per assurdo è stata trovata una st-numerazione:



1. s e t sono in comp. distinte



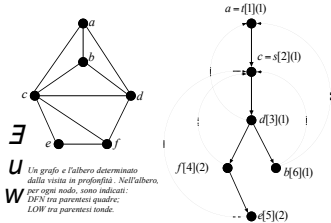
2. s e t sono nella stessa comp.
 y e z hanno etichette max e min in C_2

st-numerazione (3)

DIM. Costruttiva: forniamo l'algoritmo.

Definiamo le funzioni:

- $DFN(v)$: num. di visita in profondità
- $FATH(v)$: padre di v
- $LOW(v)$: $\min\{DFN(v), DFN(w) \text{ t.c. } \exists \text{ un arco all'indietro } (u,w) \text{ con } u \text{ discendente di } v \text{ (o } v \text{ stesso) e } w \text{ antenato di } v\}$.



- Definizione ricorsiva:

$LOW(v)$: $\min\{DFN(v), DFN(x) \text{ con } x \text{ figlio di } v, DFN(w) \text{ con } (v, w) \text{ arco all'indietro}\}$

st-numerazione (4)

...segue dim.

$PATH(v)$ inizialmente marca t,s , ed (s,t) ; poi, per ogni v restituisce un cammino non marcato da v ad un nodo marcato, marcando tutti i nodi e gli archi sul cammino.

4 casi:

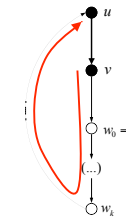
1. $\exists (v,w)$ di riporto non marcato \Rightarrow marca (v,w) e $PATH(v)=vw$



st-numerazione (5)

...segue dim.

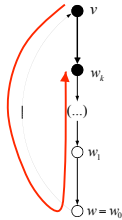
2. $\exists (v,w)$ dell'albero non marcato \Rightarrow considera tutti i nodi aventi $LOW=DFN(u)$ con u antenato di v . $PATH(v)=vw_0\dots w_k u$ e marca tutti i nodi e gli archi sul cammino



st-numerazione (6)

...segue dim.

3. $\exists (w, v)$ di riporto non marcato \Rightarrow $PATH(v) = vw_0 \dots w_k$ e marca tutti i nodi e gli archi sul cammino (N.B. qui serve la funzione $FATH$)



4. tutti gli archi incidenti a v sono marcati \Rightarrow $PATH(v) = \emptyset$

st-numerazione (7)

ALGORITMO ST-NUMBER(G)

INPUT: G 2-connesso con s, t nodi adiacenti di G

OUTPUT: una st-numerazione di G

esegui una visita in prof. e calcola DFN , $FATH$ e LOW di ogni nodo
marca s , t ed (s, t)

$PUSH(PILA, t)$; $PUSH(PILA, s)$;

cont=1

$v = POP(PILA)$

WHILE ($v \neq t$) DO

IF $PATH(v) = \emptyset$

THEN $STN(v) = cont$; $cont++$;

ELSE (supponendo che $PATH(v) = vv_1 \dots v_k w$)

$PUSH(PILA, v_k, \dots, v_1, v)$

$v = POP(PILA)$

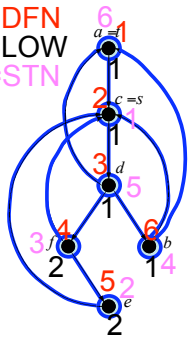
END WHILE

$STN(t) = n$

st-numerazione (8)

un esempio.

$n = DFN$
 $n = LOW$
 $n = STN$



$PATH(c)$:

$PATH(c) = cda$ (2)

$PATH(c) = cbd$ (3)

$PATH(c) = cefd$ (3)

$PATH(c) = cf$ (3)

$PATH(c) = \emptyset$

$PATH(e) = \emptyset$

$PATH(f) = \emptyset$

$PATH(b) = ba$ (1)

$PATH(b) = \emptyset$

$PATH(d) = \emptyset$

Ricorda:

- \exists arco di riporto da v
- \exists arco dell'albero da v
- \exists arco di riporto in v

a
b
c
d
e
f

st-numerazione (9)

TH. L'algoritmo precedente trova una st-numerazione di G 2-connesso in $O(n+m)$ tempo.

DIM. Ogni nodo riceve un numero:

ciò accade quando esso viene rimosso definitivamente dalla pila, cioè quando tutti i suoi archi incidenti sono marcati. Questo accade sempre perché G è 2-connesso \Rightarrow si può sempre arrivare da s ad ogni nodo senza passare per t .

La numeraz. è proprio st:

$STN(s) = 1$ e $STN(t) = n$ per l'algoritmo. Ogni nodo viene messo in pila per la prima volta come nodo intermedio di un $PATH \Rightarrow$ ha almeno un vicino prima e uno dopo nella pila.

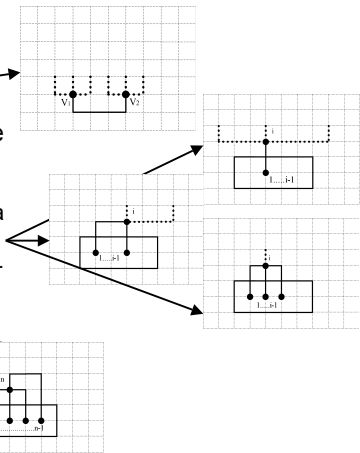
Tempo lineare: ogni nodo ed arco non viene più toccato dopo essere stato marcato. **CVD**

Algoritmo di Biedl-Kant (1)

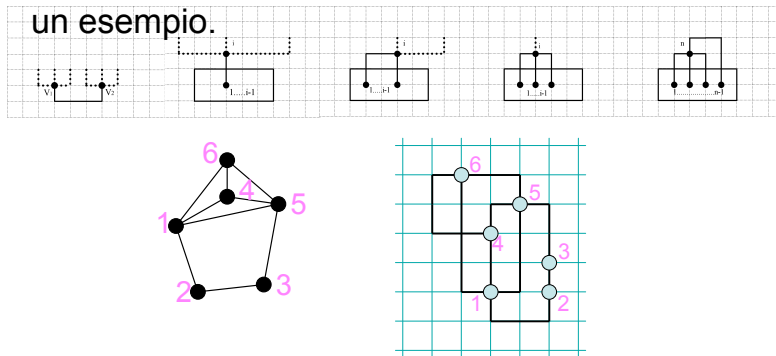
- L'algoritmo calcola una st-numerazione ed inserisce i nodi secondo questo ordine sulla griglia, aggiungendo gli archi tra il nodo corrente e la parte del disegno già esistente.
- Per fare questo aggiunge una nuova riga per ogni nodo da inserire ed una nuova colonna per ogni arco uscente (gli archi entranti non richiedono spazio aggiuntivo).
- N.B. Il grafo in input deve essere 2-connesso
- Attenzione: funziona anche per grafi non planari. Se il grafo è planare NON garantisce una visualizzazione piana.

Algoritmo di Biedl-Kant (2)

ALGORITMO
 calcola una st-numerazione
 metti 1 e 2 così
 (N.B. per ogni arco uscente è allocata 1 col.)
 FOR $3 \leq i \leq n-1$ DO
 - metti i su una nuova riga e su una col. già allocata
 - disegna gli archi entranti sulle col. già allocate
 - alloca 1 col. per ogni arco uscente
 metti n su una nuova riga su una col. già allocata così

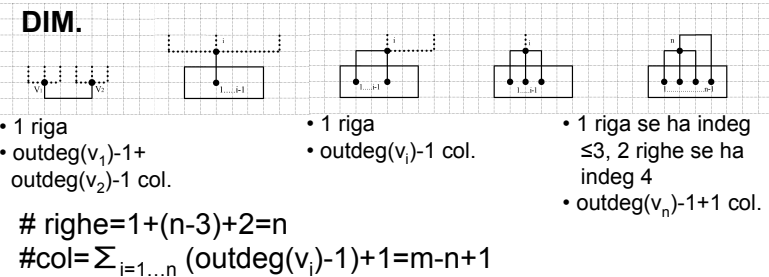


Algoritmo di Biedl-Kant (2)



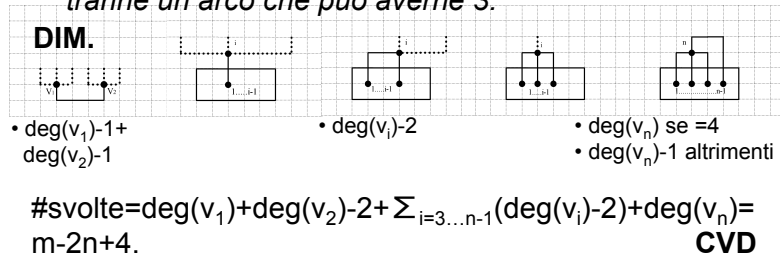
Algoritmo di Biedl-Kant (3)

TH. L'algoritmo di Biedl-Kant determina un disegno ortogonale su griglia di un grafo 2-connesso con area al più $(m-n+1) \times n$.



Algoritmo di Biedl-Kant (4)

TH. L'algoritmo di Biedl-Kant determina un disegno ortogonale su griglia di un grafo 2-connesso con al più $2m-2n+4$ svolte, e tutti gli archi hanno al più 2 svolte, tranne un arco che può averne 3.



Algoritmo di Biedl-Kant (5)

TH. L'arco con 3 svolte si può sempre evitare.

DIM. Se G ha meno di $2n$ archi, scegliamo come nodo t un nodo con grado minore di 4.

Se il grafo è 4-regolare, lasciamo l'arco senza svolte per ultimo ad ogni passo. **CVD**

Algoritmo di Biedl-Kant (6)

- E' facile convincersi che l'area può essere migliorata, perché ogni nodo viene posizionato su una nuova riga: Algoritmo di Papakostas-Tollis ('97).
- L'algoritmo è simile al precedente, ma cerca di diminuire il # di righe e colonne usate
- IDEA: formare coppie di nodi che possano stare sulla stessa riga o sulla stessa colonna:
 - coppie di riga
 - coppie di colonna

Algoritmo di Biedl-Kant (7)

ALGORITMO PAPA KOSTAS-TOLLIS

calcola una ST-numerazione

calcola un accoppiamento di nodi

FOR $i=1$ TO n DO

 IF i non è stato già inserito

 THEN IF i non è accoppiato

 THEN inserisci come Biedl-Kant

 ELSE (i e j , $i < j$, sono nella stessa coppia)

 inserisci i e j nella stessa riga/colonna

AREA: $0.77n^2$ (contro $n^2 + o(n^2)$ di Biedl-Kant)

SVOLTE: $2n+4$ (=Biedl-Kant)

COMPLESSITA': $O(n)$ ma usando una struttura dati sofisticata (Dietz-Sleator '87)